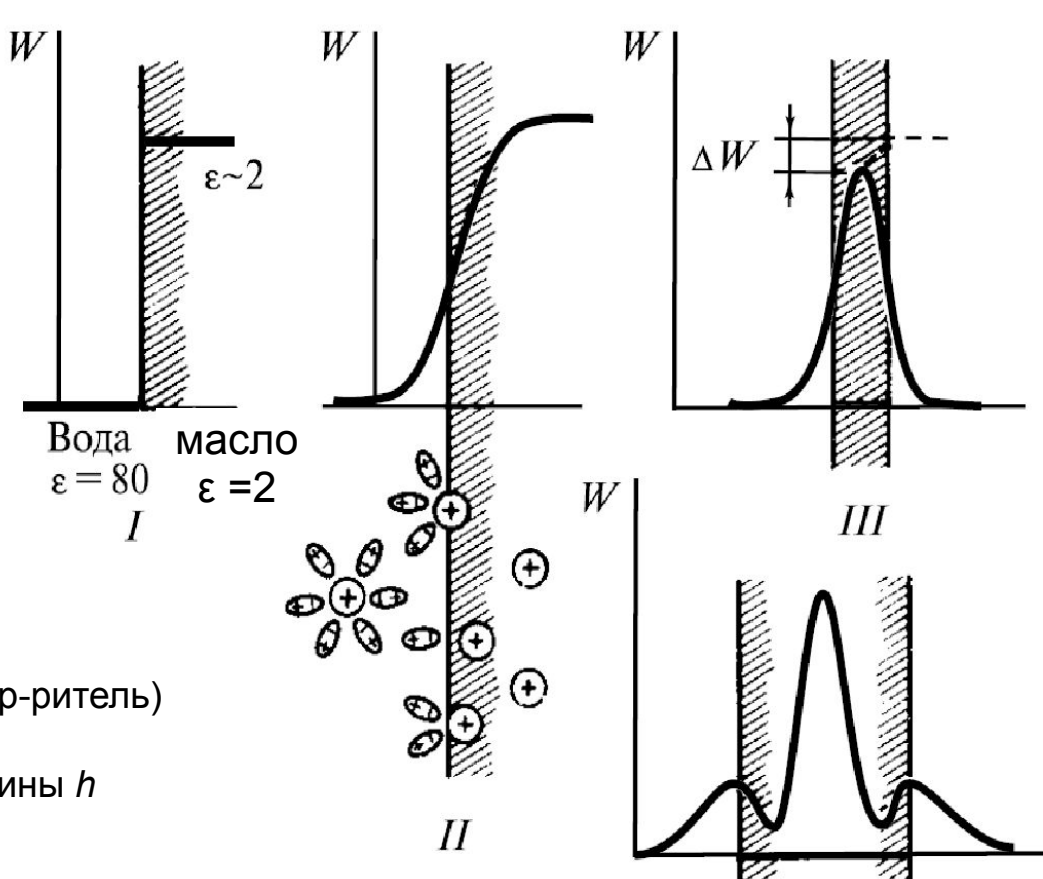
Энергия ионов в мембране и водных растворах

Электрохимический потенциал – показатель энергии иона

$$\mu = \mu_0 + RT \ln c + zF\varphi$$

μ₀ – взаимодействия иона с р-рителем. Отсутствие связей – высокая энергия



I – в грубом масштабе (вода-неполярный р-ритель)

II – краевые эффекты (взаимодействия)

III – понижение барьера из-за малой толщины h

IV – связывание ионов с фикс. зарядами

Энергия иона в мембране и водных растворах

Низкая проницаемость БЛМ для ионов обусловлена высоким энергетическим барьером

 μ_0 – отражает взаимодействия иона со средой. Недостаток эл-стат связей повышает энергию

$$W = \int \frac{\varepsilon \varepsilon_0}{2} E^2 dV$$

Единицы измерения

$$\Phi/M \cdot B^2/M^2 \cdot M^3 = \Phi \cdot B^2 = K \pi \cdot B = Дж$$

Проверка ф-лы максвеллова напряжения в случае плоского конденсатора:

$$\int E^2 dV = E^2 V = \frac{\varphi^2 S}{h}$$

$$W = \frac{\varepsilon \varepsilon_0 \varphi^2 S}{2h} = \frac{C\varphi^2}{2}$$

В случае одного иона в непрерывной среде

$$E = \frac{F}{e} = \frac{ze}{4\pi\varepsilon\varepsilon_0 R^2}$$

Элемент объема - тонкий слой толщиной dR на поверхности сферы радиусом R

$$dV=4\pi R^2 dR$$
 Подставляем E^2 и dV в исходную ф-лу Интегрируем от $R=r$ $R=\infty$.

$$W=rac{z^2e^2}{8\pi r arepsilon arepsilon_0},$$
 Ур-ие Борна

r – радиус иона, ε_{0} = $8.85 \cdot 10^{-12} \, \Phi/M$

$$\Delta W = \frac{z^2 e^2}{8\pi\varepsilon_0 r} \left(\frac{1}{\varepsilon_2} - \frac{1}{\varepsilon_1} \right)$$

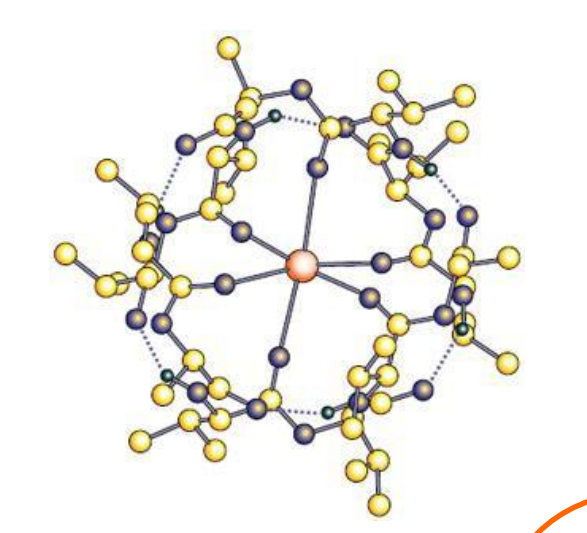
Упражнение: Рассчитать высоту энергетич. барьера для переноса одновалентного иона радиусом 0.1 нм из воды (ϵ = 80) в неполярную фазу с ϵ = 3. Выразить энергию в расчете на 1 моль ионов.

Физические механизмы действия ионофоров: переносчики

Высота энерг. барьера (на один ион)

$$\Delta W \equiv E^* = \frac{Z^2 e^2}{8\pi \varepsilon_0 r} \left(\frac{1}{\varepsilon_2} - \frac{1}{\varepsilon_1} \right) \qquad j = k_0 \exp \frac{-E^*}{k_{\rm B} T}$$

Переносчики: валиномицин – нейтр. переносчик К+, депсипептид (валин и орг к-ты)



Заряд комплекса — такой же как у K^+ , но размер больше. Na $^+$ обладает меньшим размером, меньше связей, выше E^* (малое число связей — меньше эфф. значение $\mathbf{\epsilon}_{\rm c}$).

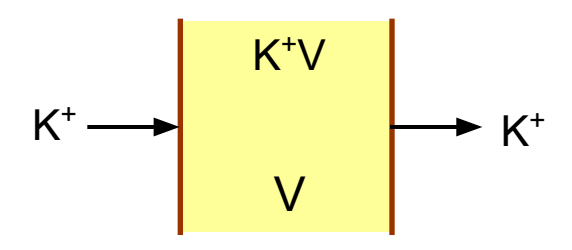
В системе СГС (отличие в ф-лах на $4\pi\epsilon_0$):

$$W = \frac{e^2}{2\varepsilon_{\rm M}b} + \frac{e^2}{2\varepsilon_{\rm K}}(1/r - 1/b)$$

Здесь учтено, что ион находится в среде (комплексоне) радиусом b, а весь комплекс радиусом b находится в сплошной среде (мембране) с диэл постоянной єт.

 $\mathbf{E_k}$ - \mathbf{E} комплексона

Подвижные переносчики: валиномицин, динотрофенол



Скорость транспорта лимитируется диффузией

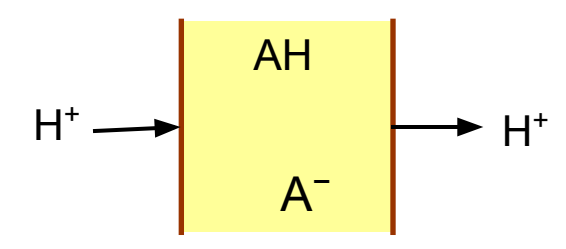
Характерное время диффузии (случай одномерной диффузии)

$$\frac{-2}{x} = 2Dt$$

Упражнение: Рассчитать количество ионов, переносимых переносчиком через липидный бислой толщиной h = 4 нм в предположении, что коэф. диффузии ионофора в мембране составляет $D = 10^{-8}$ см²/с

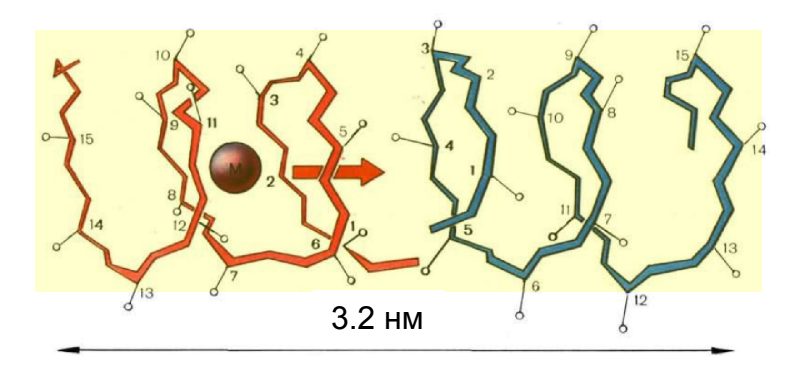
Др. переносчики: нигерицин (H⁺/K⁺), моненсин (Na⁺/H⁺), A23187 (Ca²⁺/2H⁺). Индуцируют электронейтр. обмен, но есть минорные заряженные комплексы.

Липофильные слабые к-ты (2,4-динитрофенол, FCCP) – перенос H⁺ в незаряженной форме



Физические механизмы действия ионофоров: каналы

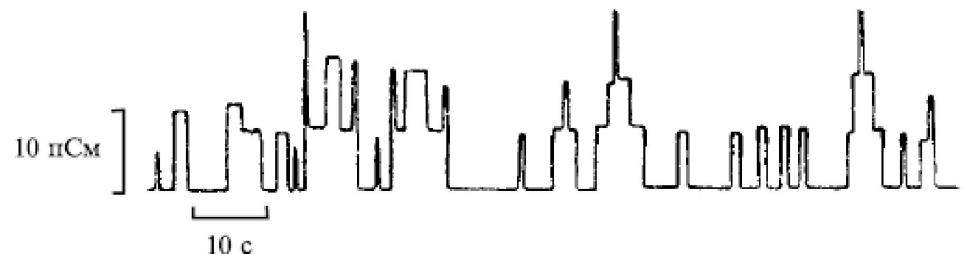
$$E^* = \frac{z^2 e^2}{8\pi\varepsilon_0 r} \left(\frac{1}{\varepsilon_m} - \frac{1}{\varepsilon_w} \right)$$



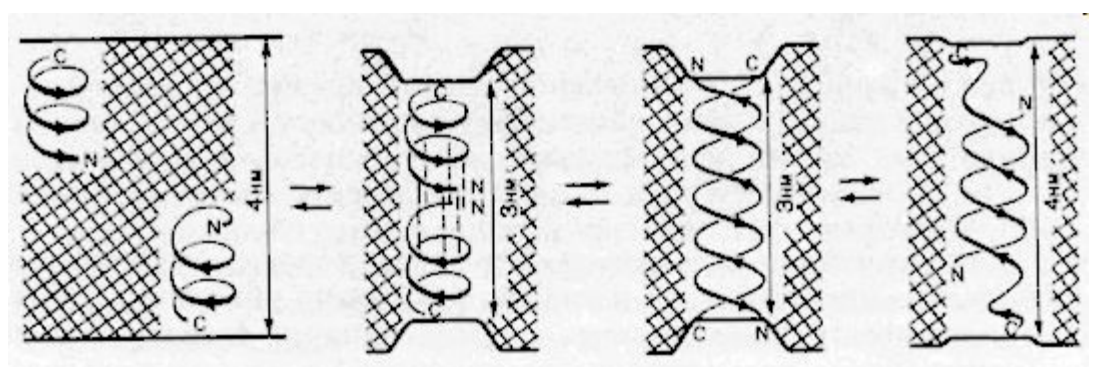
Длина димера ~ длины гидрофобной зоны

Грамицидин А: пептид из 15 аминок-т

Канал обеспечивает замену низкой $\mathbf{E}_{\rm m}$ на высокую $\mathbf{E}_{\rm p}$ (ϵ поры) В канале ион взаимодействует с полярными группами (энергия \downarrow)



У ковалентно связанных димеров – время открытого состояния составляет ~10 с (в норме 0.2 c)



Токи одиночных каналов грамицидина А. При конц-иях ~ 10⁻¹² М (ср. микропипетки)

Разные типы димеров (одно и двухтяжевые)

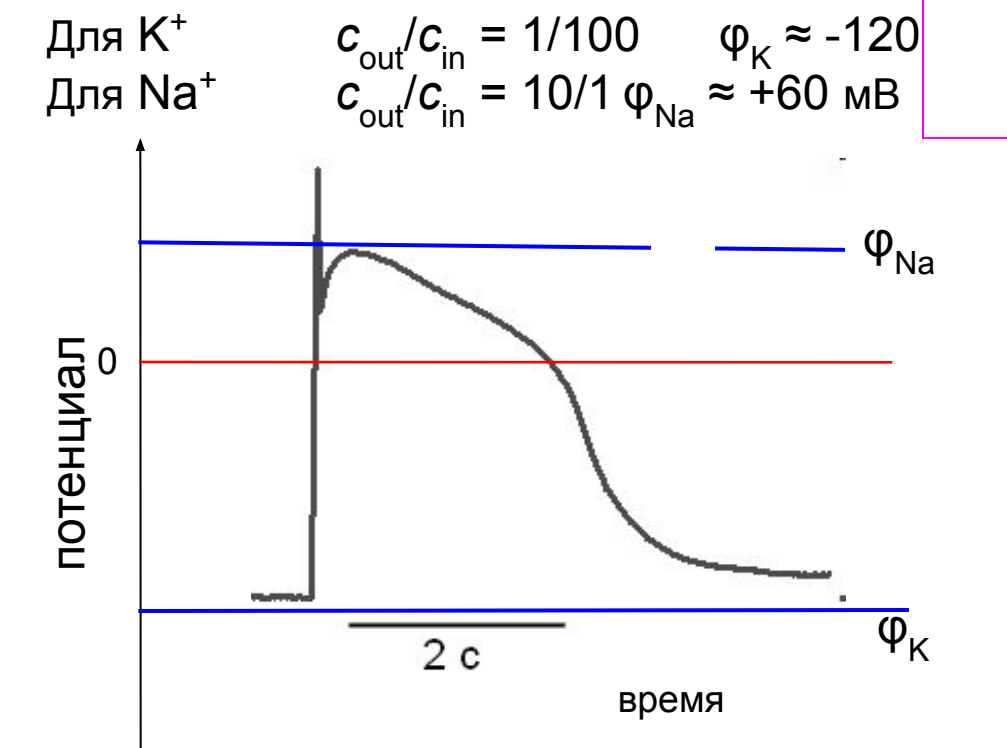
Фотоинактивация ГрА каналов

Ионные равновесия. Электрохим равновесие между водными р-рами. Равновесный потенциал, ур-ие Нернста

$$\overline{\mu} = \mu_0 + RT \ln c + zF\varphi$$

 $\mu_{\scriptscriptstyle
m O}$ — одинаковы в обоих растворах (вода)

$$\varphi_{in} - \varphi_{out} = \varphi_o = \frac{RT}{zF} \ln \frac{c_o}{c_i} = 2.3 \frac{RT}{zF} \lg \frac{c_o}{c_i}$$



$$\overline{\mu}_1 = \overline{\mu}_2$$

Ур-ие Нернста

φК и φNа ограничивают диапазон изменений φm при условии незначительной роли электрогенного насоса.

После преобразования:

$$c_i = c_0 \exp(-\frac{zF\varphi}{RT})$$

Ур-ие Больцмана

7

Ионные равновесия. Электрохим равновесие между водными р-рами. Равновесный потенциал, ур-ие Нернста

$$\overline{\mu} = \mu_0 + RT \ln c + zF\varphi$$

 $\mu_{\scriptscriptstyle O}$ — одинаковы в обоих растворах (вода)

$$\varphi_{in} - \varphi_{out} = \varphi_o = \frac{RT}{zF} \ln \frac{c_o}{c_i} = 2.3 \frac{RT}{zF} \lg \frac{c_o}{c_i}$$

Для
$$K^+$$
 $c_{\text{out}}/c_{\text{in}} = 1/100$ $\phi_{\text{K}} \approx -120 \text{ мВ}$ Для Na^+ $c_{\text{out}}/c_{\text{in}} = 10/1 \phi_{\text{Na}} \approx +60 \text{ мВ}$

2 c

время

$$\overline{\mu}_1 = \overline{\mu}_2$$

Ур-ие Нернста

φК и φNа ограничивают диапазон изменений φm при условии незначительной роли электрогенного насоса.

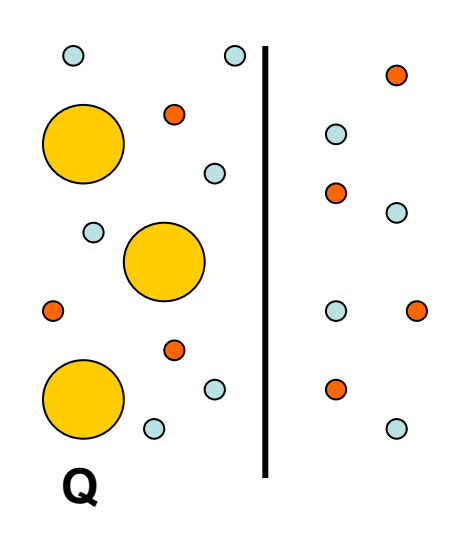
После преобразования:

$$c_i = c_0 \exp(-\frac{zF\varphi}{RT})$$

Ур-ие Больцмана

8

Доннановское равновесие



- - Непроникающие ионы (катионы с суммарным зарядом Q)
 - -Свободно проникающие катионы
 - -Свободно проникающие анионы

В объеме чистого p-pa конц-ии $c+ \bullet$ и $c- \circ$ одинаковы: $c^+ = c^- = c$. В доннановской фазе число анионов превышает число свободных катионов. Из записи уp-ия Нернста для малых катионов и анионов, приравняв ϕ , получаем $c^+ \cdot c^- = c^2$.

Условие электронейтральности для доннановской фазы:

$$c^+ + Q = c^-$$
. Отсюда получаем $c^+ \cdot (c^+ + Q) = c^2$

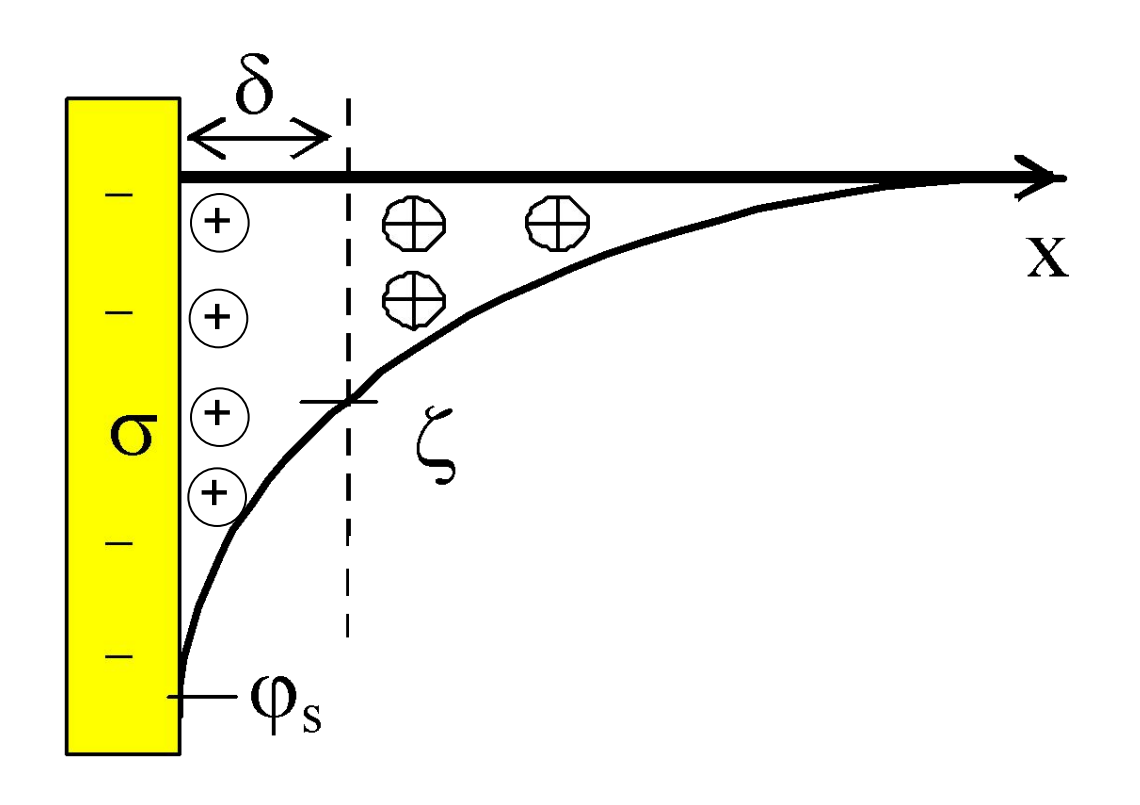
$$c_{+} = -\frac{Q}{2} + \sqrt{c^2 + \frac{Q^2}{4}}$$

Частные случаи: Q<<c+ и Q>>c+

См. учебник Биофизика т. 2. (но есть типографские ошибки в отдельных ф-лах).

Конц-ия в доннановской фазе

Ионное равновесие в области двойного эл. слоя



$$rac{d^2 arphi}{dx^2} = -rac{
ho}{arepsilon arepsilon_o}$$
 Ур-ие Пуассона

Поверхностный потенциал

$$\frac{d^2\varphi}{dx^2} = -\frac{\rho}{\varepsilon\varepsilon_o}$$

Ур-ие Пуассона [В/м²] – распределение ф

 $\rho = zF(c^+ - c^-)$ плотность зарядов [Кл/м³] на расстоянии х; z – абс значение z: 1, 2

$$c_{x}=c_{0}\exp(-rac{zFarphi}{RT})$$
 Распределение Больцмана

$$\frac{d^2\varphi}{dx^2} = -\frac{zF}{\varepsilon\varepsilon_o} \left(c_o \exp(-\frac{zF\varphi}{RT}) - c_o \exp(\frac{zF\varphi}{RT}) \right)$$

При малых х: $e^x \approx 1 + x$; $e^{-x} \approx 1 - x$

Ур-ие Пуассона-Больмана упрощается до ур-ия Дебая

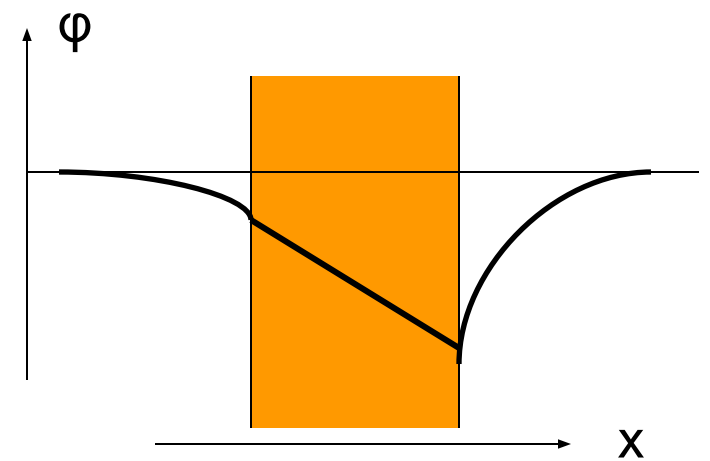
$$\frac{d^2\varphi}{dx^2} = \frac{2z^2F^2c_0}{RT\varepsilon\varepsilon_0}\varphi \qquad \qquad \frac{d^2\varphi}{dx^2} = \kappa^2\varphi$$

Решение: $\phi = \phi^{\circ} \exp(-x/\lambda)$,

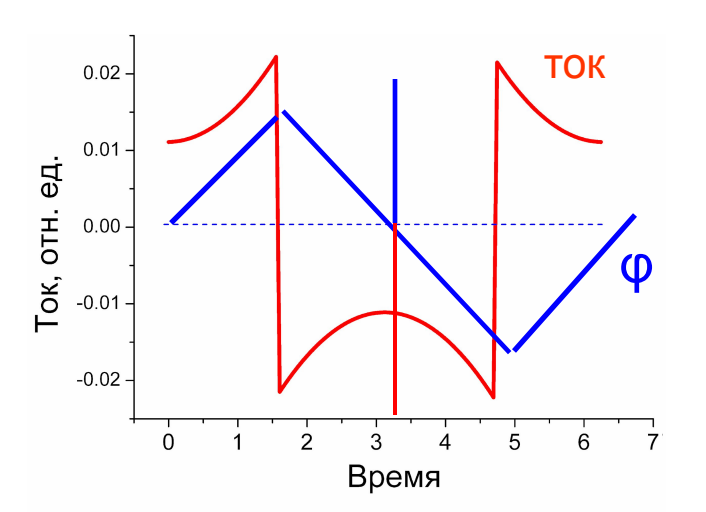
$$\lambda=\kappa^{-1}=\sqrt{rac{RTarepsilon_o}{2z^2F^2c_o}}$$
 Длина экранирования, дебаевская длина

Упражнение: Рассчитать толщину дебаевского слоя возле мембраны в 0.1 М растворе КСI и в дистиллированной воде

Разность поверхностных потенциалов создает эл поле в мембране: как её обнаружить?



Профиль эл потенциала при разных конц-иях c в растворах с двух сторон



Решение ур-ия Дебая говорит о том, как меняется потенциал с расстоянием, позволяет рассчитать λ , но не говорит о величине ϕ_s .

Потенциодинамические кривые тока:

В отсутствии внутримембранного поля минимум тока при ϕ =0 (нет электрострикции)

При наличии внутримембранного поля минимум тока сдвинут по отношению к ϕ =0 (минимум тока при компенсации внешнего и внутреннего эл поля).

